

УДК 620.22.001.5(477)

ББК 30.3

H25

Сжато изложены результаты исследований и разработок, выполненных институтами НАН Украины в рамках Государственной целевой научно-технической программы «Нанотехнологии и наноматериалы» (2010–2014). 115 разделов монографии сгруппированы в шесть тематических глав: физикаnanoструктур, технологии полупроводниковых nanoструктур, диагностика nanoструктур, наноматериалы, нанобиотехнологии и нанохимия. Показано, что при дальнейшей государственной поддержке и создании благоприятного инновационного климата Украина может организовать собственные конкурентноспособные нанотехнологические производства.

Редакционная коллегия

А.Г. НАУМОВЕЦ (главный редактор),
акад. НАН Украины

В.Н. УВАРОВ (зам. главного редактора),
чл.-кор. НАН Украины

И.А. МАЛЬЧЕВСКИЙ (зам. главного редактора),
канд. техн. наук

А.Е. БЕЛЯЕВ, чл.-кор. НАН Украины

М.Я. ВАЛАХ, чл.-кор. НАН Украины

Л.Б. ДРОБОТ, д-р биол. наук

С.В. КОМИСАРЕНКО, акад. НАН Украины

Т.Е. КОНСТАНТИНОВА, д-р физ.-мат. наук

В.А. КОЧЕЛАП, чл.-кор. НАН Украины

С.Я. КУЧМИЙ, чл.-кор. НАН Украины

В.Ф. МАЧУЛИН, акад. НАН Украины

В.Б. МОЛОДКИН, чл.-кор. НАН Украины

В.М. ПОРОШИН, д-р физ.-мат. наук

В.Д. ПОХОДЕНКО, акад. НАН Украины

А.В. РАГУЛЯ, чл.-кор. НАН Украины

В.В. СКОРОХОД, акад. НАН Украины

С.А. БЕСПАЛОВ (секретарь редколлегии),
канд. техн. наук

Электронный аналог печатного издания:

Наноразмерные системы и наноматериалы: исследования в Украине / Редкол.: А.Г. Наумовец (глав. ред.) ; НАН Украины. – К. : Академпериодика, 2014. – 768 с., 4 с. ил. – ISBN 978-966-360-260-8

ISBN 978-966-360-261-5

© НАН Украины, 2014

© Академпериодика, оформление, 2014

НОВЫЕ ИОНПРОВОДЯЩИЕ НАНОМАТЕРИАЛЫ НА ОСНОВЕ ОКСИДОВ ПЕРЕХОДНЫХ МЕТАЛЛОВ ДЛЯ СЕНСОРНЫХ И ЭНЕРГОПРЕОБРАЗУЮЩИХ СИСТЕМ

*С.В. Волков, А.Г. Белоус, Г.Я. Колбасов,
Т.А. Мирная, О.И. Вьюнов, Е.И. Болдырев,
И.А. Русецкий, Ю.С. Краснов, М.О. Данилов,
Г.Г. Яремчук, В.М. Асаула, С.Д. Кобилянская*

Проблемы в современной энергетике и оптоэлектронике побуждают к созданию новых источников энергии и компонентов оптоэлектронных систем. В частности, Li-ионные аккумуляторы применяются в передвижных электростанциях, гибридных электрических транспортных средствах и возобновляемых накопителях энергии [1]. Практическое их использование затруднено тем, что подавляющее количество литийпроводящих твердых электролитов характеризуется относительно низкими значениями ионной проводимости (10^{-5} – 10^{-7} См·см⁻¹) [2]. В то же время известны системы $\text{La}_{2/3-x}\text{Li}_{3x}\square_{1/3-2x}\text{TiO}_3$, $\text{Li}_{3x}\text{La}_{2/3-x}\square_{4/3-2x}(\text{Nb}, \text{Ta})_2\text{O}_6$ (где \square – вакансия), которые имеют высокую проводимость по ионам Li (10^{-3} – 10^{-5} См·см⁻¹) [3]. Нанокомпозиты на основе графена, оксидов металлов и полупроводниковых халькогенидных соединений типа A^{II}B^{VI} (CdSe) обладают высокими фото-, электрокаталитическими и нелинейно-оптическими свойствами, а потому являются перспективными материалами фотоанодов и катодов в фотоэлектрохимических ячейках для получения "солнечного" водорода [4–6] и компонентов оптической обработки информации [7].

Для улучшения характеристик твердых электролитов необходимо использовать наноразмерные частицы, что может способствовать росту скорости движения ионов за счет уменьшения длины диффузии в нанометровом масштабе [8]. Перспективными методами получения наноразмерных наночастиц являются золь-гель метод и темплатно-контролируемый синтез в жидких кристаллах.

Развивается также электрохимический способ, основное преимущество которого – возможность формирования нанопорошков оксидов и гидроксидов с заданной дисперсностью за счет регулирования параметров электролиза и состава электролита, а также получения пленок на основе этих соединений и управления их физико-химическими свойствами (ионной проводимостью, электрокаталитической активностью, подвижностью носителей заряда, оптическим поглощением и нелинейной рефракцией).

ГЛАВА 6. НАНОХИМИЯ

Недостатком литийпроводящих титанатов и ниобатов лантана является их нестабильность при контакте с металлическим литием, который используется в качестве анода, из-за восстановления титана и ниobia. Известно, что стабильными в контакте с металлическим литием являются литийпроводящие аморфные тонкие пленки фосфор-оксинитрида лития (LiPON), однако они имеют невысокую ионную проводимость ($\sim 10^{-6} \text{ См}\cdot\text{см}^{-1}$) [9]. Поэтому важным является создание многослойных структур на основе высокопроводящего титаната лантана-лития, покрытого тонкой пленкой LiPON.

Целью данной работы было проведение фундаментальных исследований процессов химического и электрохимического синтеза новых ионпроводящих наноматериалов на основе оксидов переходных металлов, изучение их физико-химических и оптических свойств, а также возможности использования их в сенсорных, оптоэлектронных и энергопреобразующих системах.

Исследование природы проводимости литийпроводящих материалов

На основе наночастиц, синтезированных золь-гель методом [10], была получена высокоплотная керамика, которая использовалась для изучения природы проводимости, что необходимо для дальнейшего практического использования, в частности, как мембранны для фотоэлектрохимического элемента выделения водорода [4]. Ранее было показано, что механизм литиевой проводимости в $\text{La}_{2/3-x}\text{Li}_{3x}\square_{1/3-2x}\text{TiO}_3$ описывается переколяционной моделью [11]. В системах $(\text{La}_{2/3-x}\text{Li}_{3x-y}\text{Na}_y)\times\square_{4/3-2x}\text{Nb}_2\text{O}_6$ и $(\text{La}_{2/3-x}\text{Li}_{3x-y}\text{Na}_y)\square_{4/3-2x}\text{Ta}_2\text{O}_6$ показано, что крупные ионы Na^+ не участвуют в ионном транспорте. Ионная проводимость определяется только движением ионов Li^+ . Как видно из рис. 1, характер зависимости литиевой проводимости от концентрации натрия в этих системах различен [3]. В системе $\text{Li}_{0.5-y}\text{Na}_y\text{La}_{0.5}\square\text{Nb}_2\text{O}_6$ с увеличением y Li^+ -проводимость проходит через максимум вследствие двух конкурирующих факторов — увеличения объема элементарной ячейки, приводящего к росту мобильности ионов

Li^+ , и уменьшения их концентрации. А в системе $\text{Li}_{0.5-y}\text{Na}_y\text{La}_{0.5}\square\text{Ta}_2\text{O}_6$ с ростом y проводимость уменьшается, что обусловлено потерями лития при высокотемпературном синтезе и замещением ионов Li^+ ионами Na^+ [12, 13].

Многослойные структуры на основе литийпроводящих материалов

Для получения композиционного твердого электролита, который был бы стабильным в контакте с металлическим литием (анодом) и характеризовался относительно высокой проводимостью по ионам Li^+ при комнатной температуре, была получена многослойная структура на основе титаната лантана-лития, покрытого тонкой защитной пленкой фосфор-оксинитрида лития (LiPON). Изготовлена установка ВЧ магнетронного напыления, с помощью которой определены оптимальные параметры нанесения пленок LiPON, при которых получаются однородные, без трещин и островков, аморфные тонкие пленки, устойчивые на воздухе [14].

По результатам импедансной спектроскопии построена температурная зависимость проводимости пленки LiPON (рис. 2).

Чтобы выяснить, защищает ли пленка LiPON материал на основе дефектного первовскита $\text{La}_{2/3-x}\text{Li}_{3x}\text{TiO}_3$ (LLTO) от химического взаимодействия с металлическим литием, были исследованы электрофизические свойства двух систем: 1) $\text{Li}/\text{LLTO}/\text{Li}$, где к образцу с высокой проводимостью по ионам Li^+ с двух сторон прикладывали электроды из металлического лития и 2) $\text{Li}/\text{LiPON}/\text{LLTO}/\text{LiPON}/\text{Li}$, где на такой же высокопроводящий образец с двух сторон сначала наносили тонкую пленку LiPON, а после прикладывали электроды таким образом, что между металлическим Li и образцом LLTO находилась защитная пленка LiPON. Результаты исследования приведены на рис. 3. В системе $\text{Li}/\text{LLTO}/\text{Li}$ наблюдается взаимодействие лития с LLTO, что сопровождается значительным ростом электронной проводимости. Это приводит к значительному падению сопротивления системы $\text{Li}/\text{LLTO}/\text{Li}$ (рис. 3, кривая 1). Электрическое сопротивление системы $\text{Li}/\text{LiPON}/\text{LLTO}/\text{LiPON}/\text{Li}$ в течение

долгого времени не изменяется (рис. 3, кривая 2). Полученные результаты указывают на то, что пленка LiPON защищает литиевый проводник LLTO от химического взаимодействия с металлическим литием [15].

Электрохимический синтез и свойства нанокомпозитов на основе оксидных соединений Cr, Co, Mn

Оксидные соединения Cr, Co, Mn и их композиты Cr–Co и Mn–Co синтезированы из водных фторсодержащих электролитов на основе $MnSO_4$, CrO_3 и $CoSO_4$ [16]. Размеры кристаллитов составляли 6–10 нм. Общая проводимость оксидов была $(2\text{--}8) \cdot 10^{-6}$ См· cm^{-1} , в то время как для нанокомпозитов несколько выше $(1\text{--}2) \cdot 10^{-5}$ См· cm^{-1} , а доля ионной проводимости составляла 18–22 %. По сравнению с отдельными компонентами, для нанокомпозитов характерно повышение их катализической активности при разложении пероксида водорода и электрической ёмкости в литиевых источниках тока (230–240 мА·ч/г). Они перспективны как катодные материалы в химических источниках тока вследствие значительного уменьшения количества технологических операций при их получении. Нанокомпозит на основе оксидных соединений хрома и кобальта имеет высокое значение коэффициента поглощения солнечной радиации $A_s = 0,98 \%$, по сравнению с зарубежными аналогами, такими как THERMOSOL ($A_s = 0,94 \%$) и CROMOGEN ($A_s = 0,95 \%$), что даёт возможность использовать этот композитный материал как селективное покрытие для солнечных коллекторов.

Темплатно-контролируемый синтез и свойства оптических нанокомпозитов на основе ионных жидкких кристаллов с полупроводниковыми квантовыми точками

Ионные жидккие кристаллы на основе алконоатов кадмия были использованы нами в качестве матрицы для создания оптических композитов с наночастицами полупроводниковых халькогенидов

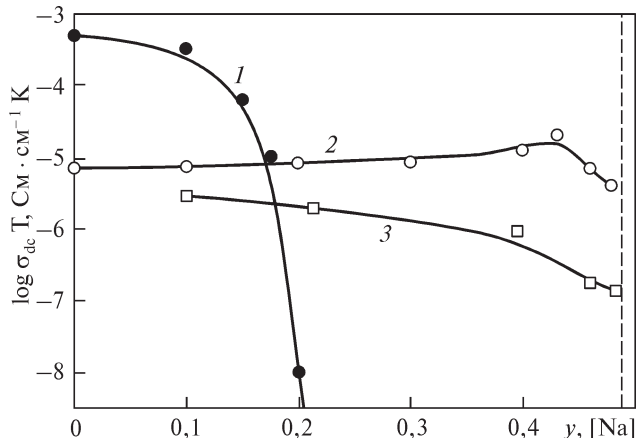


Рис. 1. Изотермы удельной электропроводности в зависимости от концентрации натрия в системах $\text{Li}_{0.5-y}\text{Na}_y\text{La}_{0.5}\text{TiO}_3$ (1), $\text{Li}_{0.5-y}\text{Na}_y\text{La}_{0.5}\square\text{Nb}_2\text{O}_6$ (2) и $\text{Li}_{0.5-y}\text{Na}_y\text{La}_{0.5}\square\text{Ta}_2\text{O}_6$ (3) при 290 К

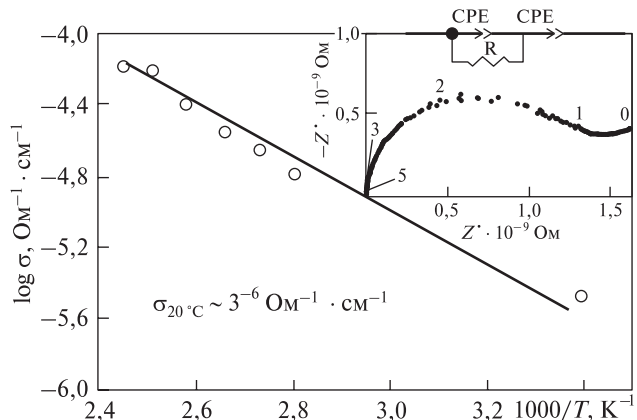


Рис. 2. Температурная зависимость проводимости пленки LiPON. На вставке типичная диаграмма импеданса образца

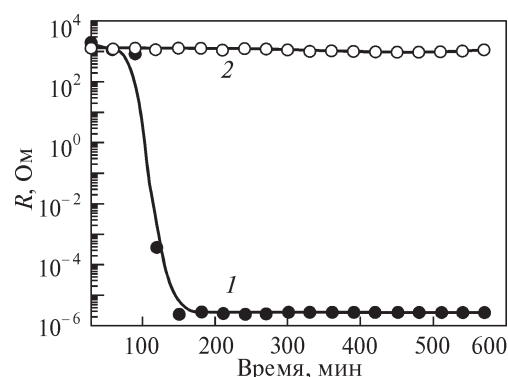


Рис. 3. Зависимость сопротивления зерен образцов времени: 1 – Li/LLTO/Li и 2 – Li/LiPON/LLTO/LiPON/Li

ГЛАВА 6. НАНОХИМИЯ

кадмия. Синтез наночастиц селенида или сульфида кадмия осуществлен в жидким кристалле на основе капроната кадмия путем выдержки реакционной смеси $(Cd(C_5H_{11}COO)_2 + Chal(NH_3)_2)$ в инертной атмосфере при различных температурах (100–250 °C) в диапазоне существования мезофазы в течение разного времени (от 10 мин до 2 ч) с последующим охлаждением жидкокристаллического расплава до комнатной температуры. В результате получали желаемый по составу прозрачный стекловидный нанокомпозит, содержащий наночастицы CdS или CdSe [17–19]. Методом ПЭМ установлено, что наночастицы халькогенидов кадмия имеют размер 1–3 нм и равномерно распределены по объему матрицы. Показано, что их размер зависит от температуры мезофазы и практически не зависит от времени реакции.

Исследованы нелинейно-оптические свойства нанокомпозитов с квантовыми точками CdSe с размерами 1; 1,8 и 2,6 нм методом Z-сканирования в непрерывном и импульсных режимах накачки. Установлено, что нелинейный отклик образцов вызван присутствием полупроводниковых наночастиц. Нелинейное поглощение ослабляется при уменьшении размера наночастиц CdSe, при этом наибольшая интенсивность поглощения наблюдается для нанокомпозита с квантовыми точками с размером 1 нм. Большие значения индекса нелинейной рефракции (10^{-4} – 10^{-5} см²/Вт) композитов по сравнению с ориентационной нелинейностью нематических жидких кристаллов можно объяснить локальным тепловым переходом из стекла в смектическую мезофазу капронаата кадмия при возбуждении лазером.

Наноструктура, электрохромные и газохромные свойства пленок оксидов никеля, молибдена и вольфрама

Оксид никеля является электрохромным материалом, который обратимо окрашивается в коричневый цвет при анодной поляризации. В электрохромных индикаторах его целесообразно использовать вместе с катодным электрохромным материалом, таким как оксид вольфрама или мо-

либдена. Процессы окрашивания и обесцвечивания оксида никеля проходят за счет обратимой интеркаляции протонов или гидроксид-ионов с образованием окисленной формы оксида никеля NiOOH, окрашенной в темно-коричневый цвет и $Ni(OH)_2$ – восстановленной прозрачной формы. Осаждение пленок оксида никеля проводили из растворов нитрата никеля [20] с применением метода двухлучевой лазерной интерферометрии для контроля толщины пленок и показателя преломления света n в процессе их роста [21]. Электрохимическое осаждение электрохромных пленок оксида молибдена проводили из водного электролита на основе молибдата аммония. Композитные пленки MoO_3 – WO_3 получали методом катодного осаждения из электролита на основе молибдата аммония и вольфрамата натрия. Найдено, что усредненное значение показателя преломления для пленок оксида никеля $n = 1,5$, которое намного меньше величины $n = 2,37$ для кристаллического оксида никеля. Это связано с тем, что катодно осажденные оксидно-никелевые пленки имеют пористую структуру и содержат химически связанную воду. Эти пленки состоят из нанокластеров размерами 70–90 нм и, по данным ИК спектроскопии, относятся к α - $Ni(OH)_2$. Кинетика процессов окрашивания и обесцвечивания электрохромных пленок гидроксида никеля определяется значением эффективного коэффициента диффузии (D_{eff}) носителей заряда (протонов и электронов в пленке), которое может зависеть от электрического поля в пленке. Показано, что значения D_{eff} увеличиваются с ростом потенциала окрашивания пленки от $2,2 \cdot 10^{-13}$ до $3,1 \cdot 10^{-12}$ см²/с.

Электрохромным эффектом в катодной области потенциалов обладают пленки таких оксидов, как W и Mo. Как было показано ранее [21], спектр поглощения пленки WO_3 существенно зависит от ее наноструктуры и находится в ближней ИК области света. Пленка MoO_3 поглощает свет, начиная с 400 нм, поэтому композитная пленка MoO_3 – WO_3 проявляла хорошо выраженный электрохромный эффект в видимой области спектра (рис. 4). Полученные результаты свидетельствуют об эффективности использования пленок MoO_3 – WO_3 и $Ni(OH)_2$ как катодного и анодного

материалов в электрохромных устройствах. Исследование газохромных свойств пленок MoO_3 и композитных пленок $\text{MoO}_3\text{--WO}_3$ показали, что после нанесения на их поверхность тонкого полупрозрачного слоя катализаторов (Pt или Pd) они, как и пленки WO_3 , под действием молекулярного водорода интенсивно окрашиваются, что делает возможным их применение в оптических сенсорах водорода. Пленки NiOOH также обладают газохромным эффектом под влиянием оксида углерода, который, как восстановитель, обесцвечивает пленку согласно реакции $2\text{NiOOH} + \text{H}_2\text{O} + \text{CO} = 2\text{Ni(OH)}_2 + \text{CO}_2$.

На базе этих пленок разработан оптический мультисенсор для определения основных компонент синтез-газа (H_2 и CO). Дистанционная схема регистрации показаний сенсора с использованием оптоволокна полностью удовлетворяет условиям взрывобезопасности. Предельная чувствительность сенсора в газовой смеси с воздухом составляла 0,1 % H_2 и 0,5 % CO.

Получение "солнечного" водорода в фотоэлектрохимической ячейке с Li-проводящей мембраной

Для получения "солнечного" водорода перспективной является фотоэлектрохимическая ячейка с разделенными анодным и катодным пространствами [5], в которой используются электролиты с разными значениями pH для обеспечения эффективных и стабильных характеристик фотоанода и катода. Li-проводящая мембрана использована для разделения анодного и катодного пространств, в состав которых введены ионы лития [4]. Фотоанод такой ячейки состоял из композитной пленки на основе оксид-титановых нанотрубок, восстановленного оксида графена и CdSe (рис. 5, а). Восстановленный оксид графена получали из углеродных нанотрубок химическим методом [5]. Показано, что полученный материал содержал 8–10 графеновых слоев.

На таком фотоаноде наблюдалось существенное увеличение фотокаталитической активности и уменьшение плотности центров рекомбинации в полисульфидной системе, которая используется в таких ячейках. Характеристики композитного

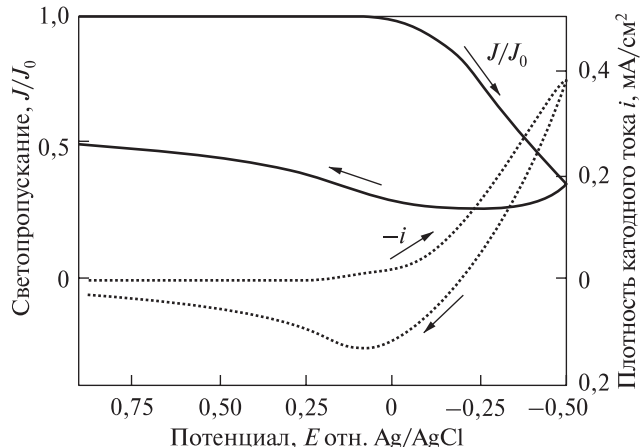


Рис. 4. Зависимость тока окрашивания – обесцвечивания пленки $\text{MoO}_3\text{--WO}_3$ и величины её светопропускания на 625 нм от потенциала

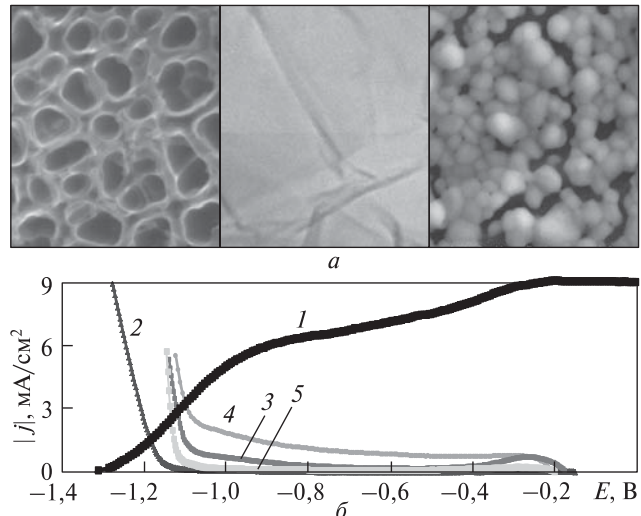


Рис. 5. Электроды фотоэлектрохимической ячейки для получения "солнечного" водорода: а – композитная пленка на основе оксид-титановых нанотрубок, восстановленного оксида графена и CdSe (слева направо); б – характеристики электродов: 1 – CdSe, модифицированный графеном; 2 – Pt-пластинка; 3 – многослойные углеродные нанотрубки с Pt; 4 – композит графен- MnO_2 ; 5 – Pt, нанесенная на Ni сетку

фотоанода при мощности освещения 16 mBt/cm^2 (рис. 5, б, кривая 1) свидетельствуют о его высокой эффективности. В качестве катодного материала также использовался графен, модифицированный наночастицами диоксида марганца. Сравнение характеристик разных материалов, исполь-

ГЛАВА 6. НАНОХИМИЯ

зованных в качестве катода для выделения водорода (рис. 5, б), свидетельствует, что фотоэлектрохимические ячейки с Li-проводящей мембраной при выделении водорода на Солнце имеют наиболее оптимальные характеристики для пары анод – катод, которые содержат графен. Таким образом, создан композиционный твердый электролит, включающий в себя материал с высокой проводимостью по ионам лития (10^{-3} См · см⁻¹) LLTO, покрытый пленкой LiPON, которая не взаимодействует с металлическим литием, характеризуется относительно высокой литиевой проводимостью (10^{-5} См · см⁻¹) и стабильностью в контакте с металлическим литием.

Полученные результаты указывают на перспективность разработки высокоэффективных многослойных твердых электролитов для твердотельных литиевых аккумуляторов.

Показано, что композиты на основе алканоатов кадмия являются активными оптическими сре-дами для систем обработки информации из-за быстрого самодефокусирования и нелинейного поглощения.

Оксидные соединения Cr, Co, Mn и их нанокомпозиты Cr–Сo и Mn–Co могут быть использованы в химических источниках тока и в качестве селективных покрытий для солнечных коллекторов; пленки оксидов Mo, W, Ni и нанокомпозитов на основе восстановленного оксида графена эффективны как материалы в электрохромных устройствах, оптическом мультисенсоре компонентов синтез-газа и в фотоэлектрохимических системах для получения водорода.

ЛИТЕРАТУРА

1. *Lithium-air batteries: Survey on the current status and perspectives towards automotive applications from a battery industry standpoint* / Park M. [et al.] // *Adv. Energy Mater.* – 2012. – 2, N 7. – P. 780–800.
2. *Knauth P. Inorganic solid Li ion conductors: An overview* // *Solid State Ionics*. – 2009. – 180, N 14–16. – P. 911–916.
3. *Кобылянская С., Вьюнов О., Белоус А. Исследование структурных особенностей и природы ионной проводимости в системах $\text{Li}_{0.5-y}\text{Na}_y\text{La}_{0.5}\text{TiO}_3$ и $\text{Li}_{0.5-y}\text{Na}_y\text{La}_{0.5}\{\text{Nb},\text{Ta}\}_2\text{O}_6$* // Укр. хим. журн. – 2012. – 78, № 9. – С. 7–15.
4. *Фотоэлектрохимічний елемент для виділення водню з Li-проводідною мемброю* : пат. 73554 Україна : МПК (2012.09) H01M 6/36I / Слободянюк І., Русецький І., Колбасов Г., Кобилянська С., Білоус А. (Україна) ; заявник і власник ІЗНХ ім. В. І. Вернадського НАН України. – № і 2012 03810 ; заявл. 29.03.2012 ; опубл. 25.09.2012, Бюл. № 18. – 6 с.
5. *Фотоэлектрохимическая система для получения и аккумулирования водорода под действием солнечного света* / Русецкий И.А. [и др.] // Вопр. хим. и хим. технологии. – 2011. – № 4 (2). – С. 155–157.
6. *Reduced graphene oxide: apromising electrode material for oxygen electrodes* / Danilov M. [et al.] // *J. Nanostr. Chem.* – 2013. – 3, N 1. – P. 49–53.
7. *Strong thermal optical nonlinearity caused by CdSe nanoparticles synthesised in smectic ionic liquid crystals* / Lyashchova A. [et al.] // *Liquid Crystals*. – 2013. – 40, N 10. – P. 1377–1382.
8. *Lee K.T., Cho J. Roles of nanosize in lithium reactive nano-materials for lithium ion batteries* // *Nano Today*. – 2011. – 6, N 1. – P. 28–41.
9. *Fabrication and characterization of amorphous lithium electrolyte thin films and rechargeable thin-film batteries* / Bates J.B. [et al.] // *J. Power Sources*. – 1993. – 43, N 1–3. – P. 103–110.
10. *Кобылянская С., Гавриленко О., Белоус А. Синтез наноразмерных частиц $(\text{Li},\text{La})\{\text{Ti},\text{Nb},\text{Ta}\}\text{O}_3$ методом золь-гель* // Журн. неорг. хим. – 2013. – 58, № 6. – С. 725–732.
11. *Li mobility in $(\text{Li},\text{Na})_y\text{La}_{0.66-y/3}\text{TiO}_3$ perovskites ($0.09 < y \leq 0.5$). A model system for the percolation theory* / Sanz J. [et al.] // *Mater. Res. Soc. Proc.* – 2003. – 756. – P. EE2.31–EE2.36.
12. *Lithium ion conductors with perovskite structure* / Kobylanska S. [et al.] // *Solid State Phenomena*. – 2013. – 200. – P. 279–285.
13. *Влияние изовалентного замещения на структурные особенности и ионную проводимость $\text{Li}_{0.5-y}\text{Na}_y\text{La}_{0.5}\text{Nb}_2\text{O}_6$* / Белоус А. [и др.] // Неорган. материалы. – 2011. – 47, № 1. – С. 1–5.
14. *Спосіб синтезу плівок фосфор-оксинітриду літію (LiPON) для твердотільних літієвих акумуляторів методом високочастотного магнетронного напилення* : пат. 84897 Україна : МПК H01M 2/16 (2006.01) / Білоус А., Коваленко Л., В'юнов О. (Україна) ; заявник і власник Київ, ІЗНХ ім. В.І. Вернадського НАН України. – № і 2013 03039 ; заявл. 12.03.2013 ; опубл. 11.11.2013, Бюл. № 21. – 4 с.
15. *Композиційний твердий електроліт для твердотільних літієвих акумуляторів* : пат. 82646 Україна : МПК H01M 2/16 (2006.01) / Білоус А., Коваленко Л., В'юнов О. (Україна) ; заявник і власник Київ, ІЗНХ ім. В.І. Вернадського НАН України. – № і 2013 03142 ; заявл. 15.03.2013 ; опубл. 12.08.2013, Бюл. № 15. – 3 с.
16. *Композитные материалы на основе оксидных соединений хрома и кобальта* / Болдырев Е.И. [и др.] // Укр. хим. журн. – 2011. – 77, № 9. – С. 38–41.

-
17. *Synthesis and optical properties of liquid-crystalline nano-composite cadmium octanoate – CdS quantum dots / Mironova T. [et al.] // Phys. Chem. Solid State.* – 2012. – **13**, N 1. – P. 131–136.
 18. *Спосіб одержання рідкокристалічних скловидних нанокомпозитних матеріалів з наночастинками напівпровідниківих сульфідів металів : пат. 58140 Україна : МПК (2011.01), C01G9/00, C01G9/00, C01G21/00, B82B1/00 / Асаула В.Н., Мирная Т.А., Яремчук Г.Г., Волков С.В. (Україна) ; заявник і власник ІЗНХ ім. В.І. Вернадського НАН України. – № у 201003708; заявл. 31.03.10; опубл. 11.04.2011, Бюл. № 7. – 8 с.*
 19. *Спосіб одержання рідкокристалічних нанокомпозитних матеріалів з напівпровідниковими наночас-*тинками CdSe : пат. 69609 Україна : МПК (2012.01), C01G11/00, C01B19/00, B82B1/00 / Асаула В.Н., Мирная Т.А., Яремчук Г.Г., Волков С.В. (Україна) ; заявник і власник ІЗНХ ім. В.І. Вернадського НАН України. – № у 201111249 ; заявл. 22.09.11 ; опубл. 10.05.2012, Бюл. № 9. – 4 с.
 20. *Fomanyuk S.S., Krasnov Yu.S., Kolbasov G.Ya. Kinetics of electrochromic process in thin films of cathodically deposited nickel hydroxide // J. Solid State Electr.* – 2013 – **17**, N 10. – P. 2643–2649.
 21. *Krasnov Yu.S., Kolbasov G.Ya. Electrochromism and reversible change in the position of fundamental absorption edge in cathodically deposited amorphous WO₃ // Electrochim. Acta.* – 2004. – **49**, N 15. – P. 2425–2433.